

NORMÁL ÉS CSÚSZTATÓ FESZÜLTSÉGEK SZÁMÍTÁSA RÉSZLEGESEN KAPCSOLT RÉTEGEZETT KOMPOZIT RUDAKBAN

DETERMINATION OF NORMAL AND SHEARING STRESSES IN COMPOSITE BEAMS WITH WEAK SHEAR CONNECTION

Lengyel Ákos József¹, Ecsedi István²

ABSTRACT

The main objective of the present paper is the analysis of the stress field in a two-layer composite beam with imperfect shear connection. Some formulae are derived for the normal and shearing stresses. It is assumed that the two layers follow the requirements of the Euler-Bernoulli beam theory and the applied loads act in the plane of symmetry of the composite beam.

$$\langle AE \rangle = A_1 E_1 + A_2 E_2, \quad c = \overline{C_1 C_2}. \quad (2)$$

Feltevés szerint a B_1 és B_2 rúd komponensek mechanikai viselkedését az Euler-Bernoulli rúd elmélet írja le. Ennek megfelelően, tekintettel a geometriai és terhelési, valamint a megtámasztási viszonyokra a rúd elmozdulásmezője a választott $Oxyz$ koordináta-rendszerben az alábbi alakban adható meg. (1. ábra):

1. BEVEZETÉS

Kétrétegű rugalmas anyagú kompozit rúd keresztmetszetét és terhelését az 1. ábra szemlélteti. Az yz sík a rúd szimmetriasisíkja, amely egyben az alkalmazott terheléseket és a megtámasztási kényszereket is tartalmazza. A rúd keresztmetszet $A = A_1 \cup A_2$ A_i ($i=1,2$) résztartományát E_i ($i=1,2$) rugalmassági modulusú homogén, izotrop anyag tölti ki. Az A_1 és A_2 keresztmetszeti tartományok közös határgörbéjét ∂A_{12} jelöli, továbbá az A_1 és A_2 keresztmetszetű B_1 és B_2 rúdkomponensek közös határoló felülete a $\partial A_{12} \times (0, L)$ téglalap. Kiemelendő, hogy jelen tanulmányban az A_1 és A_2 keresztmetszeti tartományok közös határgörbéje az yz síkra szimmetrikus egyenes szakasz (1. ábra). Feltevés szerint normál irányban (y irányban) a B_1 és B_2 rúdkomponensek kapcsolata tökéletes, szakadás csak az axiális (z tengely irányú) elmozdulásban lehetséges a ∂B_{12} felületszakaszon történő áthaladáskor a B_1 rúdkomponensről a B_2 rúdkomponensre (interlayer slip) [2,3,4,5]. Az $Oxyz$ koordináta-rendszer O origója a $z=0$ koordinátával kijelölt keresztmetszet E rugalmassági modulusú súlyozott C súlypontjával esik egybe [6,7], továbbá az A_1 és A_2 keresztmetszeti tartományok súlypontjait C_1 és C_2 jelöli (1. ábra). Könnyen belátható, hogy

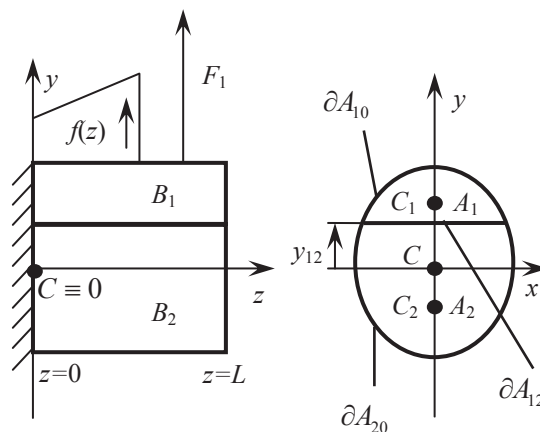
$$c_1 = \overline{CC_1} = \frac{A_2 E_2}{\langle AE \rangle} c, \quad c_2 = \overline{CC_2} = \frac{A_1 E_1}{\langle AE \rangle} c, \quad (1)$$

$$\mathbf{u}(x, y, z) = u(x, y, z) \mathbf{e}_x + v(x, y, z) \mathbf{e}_y + w(x, y, z) \mathbf{e}_z, \quad (3)$$

$$u = 0, \quad v = v(z), \quad (4)$$

$$w(x, y, z) = w_i(z) - y \frac{dv}{dz}, \quad (5)$$

$$(x, y) \in A_i, \quad i = (1, 2), \quad 0 \leq z \leq L.$$



1. ábra. Kétrétegű részlegesen kapcsolt kompozit rúd.

A rugalmas rudakkal kapcsolatos rugalmasságtani egyenletek alkalmazásával azt kapjuk, hogy [1]

$$\varepsilon_x = \varepsilon_y = \gamma_{xz} = \gamma_{yz} = \gamma_{xy} = 0, \quad (6)$$

¹PhD hallgató, Miskolci Egyetem, Mechanikai Tanszék, mechlen@uni-miskolc.hu

²egyetemi tanár, Miskolci Egyetem, Mechanikai Tanszék, mechecs@uni-miskolc.hu

$$\varepsilon_z = \frac{dw_i}{dz} - y \frac{d^2v}{dz^2}, \quad (7)$$

összhangban az Euler-Bernoulli rúdelmélettel. Az ε_z fajlagos nyúláshoz tartozó σ_z normál feszültségre a

$$\sigma_z = E_i \left(\frac{dw_i}{dz} - y \frac{d^2v}{dz^2} \right), \quad (x, y, z) \in B_i, \quad i = (1, 2) \quad (8)$$

eredményt tudjuk levezetni. Mivel a rudat keresztirányú yz síkban ható erőrendszer terheli, a rúd teljes keresztmetszetén működő N normálerő értéke zérus, azaz

$$N = N_1 + N_2 = \int_{A_1} \sigma_z dA + \int_{A_2} \sigma_z dA = 0. \quad (9)$$

A rétegek relatív elcsúszása s (interlayer slip) a tengely irányú elmozdulások különbsége a ∂B_{12} belső határoló felület mentén számolva. Nyilván

$$s(z) = w_1(z) - w_2(z). \quad (10)$$

A nem tökéletesen kapcsolódó rétegek által átvitt T kapcsolati nyíróerő, lineáris anyag törvényt feltételezve, a

$$T = ks \left([T] = \frac{\text{erő}}{\text{hosszúság}}, [k] = \frac{\text{erő}}{(\text{hosszúság})^2} \right) \quad (11)$$

alakba írható, ahol k a kapcsolat nyírási merevségét jelöli [2,3,6,7].

2. NORMÁL FESZÜLTÉG SZÁMÍTÁSA

A levezetendő képleteket az $s=s(z)$ szlip és $v=v(z)$ lehajláshoz kapcsolódó alakváltozási jellemzőkkel fogalmazzuk meg. Ennek érdekében a (8) képletből a (9) és (10) egyenletek felhasználásával elimináljuk a $w_1=w_1(z)$ és a $w_2=w_2(z)$ axiális elmozdulás komponensek z szerinti deriváltjait. A (9) és (10) egyenletekből az következik, hogy

$$N_1 + N_2 = E_1 A_1 \frac{dw_1}{dz} + E_2 A_2 \frac{dw_2}{dz} = 0, \quad (12)$$

$$\frac{ds}{dz} = \frac{dw_1}{dz} - \frac{dw_2}{dz}. \quad (13)$$

Az (1) és (2) továbbá a (12) és (13) egyenletek kombinálásával jutunk a következő eredményre

$$\frac{dw_1}{dz} = \frac{c_1}{c} \frac{ds}{dz}, \quad \frac{dw_2}{dz} = -\frac{c_2}{c} \frac{ds}{dz}. \quad (14)$$

A (8) egyenletbe helyettesítve a fenti kifejezéseket megkapjuk a normál feszültségek képleteit a B_1 és B_2 rúdkomponensekre

$$\sigma_z(x, y, z) = E_1 \left(\frac{c_1}{c} \frac{ds}{dz} - y \frac{d^2v}{dz^2} \right) \quad (15)$$

$$(x, y, z) \in B_1,$$

$$\sigma_z(x, y, z) = -E_2 \left(\frac{c_2}{c} \frac{ds}{dz} + y \frac{d^2v}{dz^2} \right) \quad (16)$$

$$(x, y, z) \in B_2,$$

Egyszerű számolással adódik, hogy

$$N_1 = \int_{A_1} \sigma_z dA = \langle AE \rangle_{-1} \left(\frac{ds}{dz} - c \frac{d^2v}{dz^2} \right), \quad (17)$$

$$\begin{aligned} M &= \int_{A_1} y \sigma_z dA = \int_{A_2} y \sigma_z dA = \\ &= c \langle AE \rangle_{-1} \frac{ds}{dz} - \{EI\} \frac{d^2v}{dz^2}. \end{aligned} \quad (18)$$

Itt bevezettük a

$$\langle AE \rangle_{-1} = \frac{A_1 E_1 A_2 E_2}{\langle AE \rangle}, \quad (19)$$

$$\{EI\} = E_1 \int_{A_1} y^2 dA + E_2 \int_{A_2} y^2 dA \quad (20)$$

jelöléseket. A (17) és a (18) egyenletek felhasználásával a

$$\lambda = \frac{ds}{dz}, \quad \frac{1}{\rho} = -\frac{d^2v}{dz^2} \quad (21)$$

szlip alakváltozást és a rugalmassági modulussal súlyozott középvonal görbületváltozását az $N_1=N_1(z)$ és $M=M(z)$ igénybevételek segítségével az alábbi alakban tudjuk megadni:

$$\frac{ds}{dz} = -\frac{c}{\langle EI \rangle} M + \frac{\{EI\}}{\langle AE \rangle_{-1} \langle EI \rangle} N_1, \quad (22)$$

$$-\frac{d^2v}{dz^2} = \frac{M}{\langle EI \rangle} - \frac{c}{\langle EI \rangle} N_1. \quad (23)$$

A (15), (16) és a (22), (23) egyenletek kombinálásával kapjuk a normál feszültségek képleteit az $N_1=N_1(z)$ és $M=M(z)$ igénybevételekkel kifejezve:

$$\sigma_z = \frac{E_1}{\langle EI \rangle} \left[-c_1 M + \frac{\{EI\}}{A_1 E_1} N_1 + y(M - c N_1) \right] \quad (24)$$

$$(x, y, z) \in B_1,$$

$$\sigma_z = \frac{E_2}{\langle EI \rangle} \left[c_2 M - \frac{\{EI\}}{A_2 E_2} N_1 + y(M - cN_1) \right] \quad (25)$$

$(x, y, z) \in B_2$.

A fenti egyenletekben alkalmaztuk az

$$\langle EI \rangle = \{EI\} - c^2 \langle AE \rangle_{-1} \quad (26)$$

jelölést. Megjegyzendő, hogy $\{EI\}$ a rúdkeresztmetszet hajlítási merevségét jelenti tökéletes (elcsúszásmentes) kapcsolat esetén, mikor is $k=\infty$, továbbá $\langle EI \rangle$ abban az esetben a keresztmetszet hajlítási merevsége, ha a B_1 és a B_2 rúdkomponensek szabadon elcsúszhatnak axiális irányban egymáshoz képest, vagyis $k=0$. A (15), (16) valamint a (24) és (25) képletekből az következik, hogy a $\sigma_z = \sigma_z(y, z)$ függvény $y = y_{12}$, $0 \leq z \leq L$ helyen szakadással rendelkezik (1. ábra).

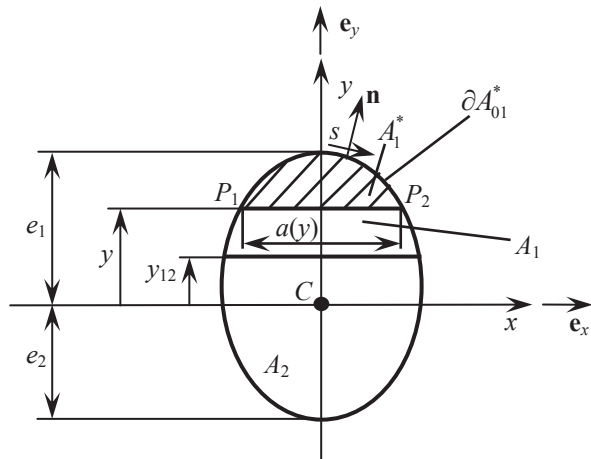
3. CSÚSZTATÓ FESZÜLTSEG SZÁMÍTÁSA

Az A_1 tartomány pontjaiban ébredő τ_{yz} csúsztató feszültség P_1 , P_2 pontok által meghatározott egyenes szakaszra vonatkozó átlag értékét a

$$\bar{\tau}_{yz}(y, z) = \frac{1}{a(y)} \int_{P_1 P_2} \tau_{yz}(x, y, z) dx \quad (27)$$

egyenlet definiálja (2. ábra). A $\bar{\tau}_{yz}$ meghatározásához a

$$\frac{\partial \tau_{xz}}{\partial x} + \frac{\partial \tau_{yz}}{\partial y} + \frac{\partial \sigma_z}{\partial z} = 0 \quad (28)$$



2. ábra. A_1^* tartomány szemléltetése.

mechanikai egyensúlyi egyenletet használjuk [1]. Jelölje A_1^* a $P_1 P_2$ egyenes szakasz és a ∂A_{01}^* görbe által határolt résztartományát A_1 -nek (2. ábra). A (28)

egyenletből integrálással az alábbi összefüggésre jutunk:

$$\int_{A_1^*} \left(\frac{\partial \tau_{xz}}{\partial x} + \frac{\partial \tau_{yz}}{\partial y} \right) dA + \int_{A_1^*} \frac{\partial \sigma_z}{\partial z} dA = \int_{\partial A_1^*} (\tau_{xz} n_x + \tau_{yz} n_y) ds = - \int_{P_1 P_2} \tau_{yz} dx + \int_{A_1^*} E_1 \left(\frac{c_1}{c} \frac{d^2 s}{dz^2} - y \frac{d^3 v}{dz^3} \right) dA = 0. \quad (29)$$

A (29) egyenlet levezetése során alkalmaztuk a Stokes-tételt, a ∂A_{01}^* görbeszakaszra vonatkozó

$$\frac{\partial \tau_{xz}}{\partial x} n_x + \frac{\partial \tau_{yz}}{\partial y} n_y = 0, \quad (x, y) \in \partial A_{01}^*, \quad 0 < z < L \quad (30)$$

feszültségi peremfeltételt (2. ábra), ahol

$$\mathbf{n} = n_x \mathbf{e}_x + n_y \mathbf{e}_y \quad (31)$$

a $\partial A_{01}^* \cup \overline{P_1 P_2}$ zárt görbe normális egységvektorát jelöli. Nyilván

$$n_x = 0, \quad n_y = -1, \quad (x, y) \in \overline{P_1 P_2}. \quad (32)$$

A (29) egyenlet alapján írható, hogy

$$\bar{\tau}_{yz}(y, z) = \frac{E_1 A_1^*}{a(y)} \left[\frac{c_1}{c} \frac{d^2 s}{dz^2} - y_1^* \frac{d^3 v}{dz^3} \right], \quad (33)$$

$y_{12} < y < e_1$.

Itt

$$y_1^* = \frac{1}{A_1^*} \int_{A_1^*} y dA. \quad (34)$$

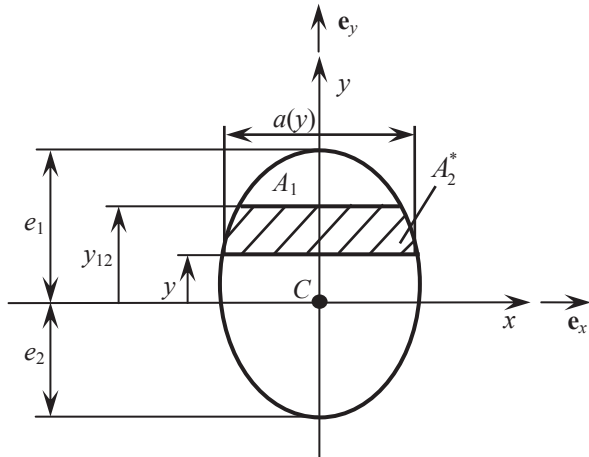
Hasonló okoskodással az $y_{12} > y \geq -e_2$ egyenlőtlenséggel kijelölt tartományra a következő képletet tudjuk levezetni a $\bar{\tau}_{yz}(y, z)$ átlagos nyírófeszültségre (3. ábra)

$$\bar{\tau}_{yz}(y, z) = \frac{1}{a(y)} \left\{ \frac{E_1 A_1 c_1 - E_2 A_2^* c_2}{c} \frac{d^2 s}{dz^2} - (c_1 E_1 A_1 + y_2^* E_2 A_2^*) \frac{d^3 v}{dz^3} \right\}, \quad -e_2 \leq y \leq y_{12}. \quad (35)$$

A fenti képletben A_2^* az A_2 tartományból az $y=y_{12}$ és $y(-e_2 \leq y \leq y_{12})$ x tengellyel párhuzamos egyenesek által kihasított tartomány területét jelenti (3. ábra) és

$$y_2^* = \frac{1}{A_2^*} \int y dA. \quad (36)$$

A keresztmetszeti csúsztató feszültségekre levezetett képletek felírhatók a teljes keresztmetszetre vonatkozó $V=V(z)$ nyírőerő és $T=T(z)$ kapcsolati nyírőerő függvényeként.



3. ábra. Az A_2^* tartomány szemléltetése.

A levezetéshez az alábbi összefüggéseket fogjuk használni [6,7]

$$V(z) = \frac{dM}{dz}, \quad T(z) = \frac{dN_1}{dz}. \quad (37)$$

A (22), (23), (33), (35) és (37) egyenletek kombinálásával kapjuk a (38) és (39) egyenleteket:

$$\bar{\tau}_{yz}(y, z) = \frac{E_1 A_1^*}{a(y) \langle EI \rangle} \left\{ -c_1 V + \frac{\langle EI \rangle}{A_1 E_1} T + \right. \quad (38)$$

$$\left. + y_1^* (V - cT) \right\}, \quad y_{12} < y \leq e_1,$$

$$\bar{\tau}_{yz}(y, z) = \frac{E_1 A_1}{a(y) \langle EI \rangle} \left[-c_1 V + \frac{\langle EI \rangle}{A_1 E_1} T + \right. \quad (39)$$

$$\left. + c_1 (V - cT) \right] + \frac{E_2 A_2^*}{a(y) \langle EI \rangle} \left[c_2 V - \frac{\langle EI \rangle}{A_2 E_2} T + y^* (V - cT) \right], \quad -e_2 < y \leq y_{12}.$$

4. PÉLDA. KONCENTRÁLT ERŐVEL TERHELT FIXEN MEGFOGOTT RÚD

A 4. ábra szemlélteti az F nagyságú koncentrált erővel terhelt a $z=0$ koordinátával kijelölt keresztmetszetről

befalazott kétrétegű kompozit rudat. A tartó keresztmetszete téglalap. A 4. ábra jelöléseit használva írható, hogy

$$A_1 = h_1 b, \quad A_2 = h_2 b, \quad (40)$$

$$c_1 = \frac{E_2 h_2 (h_1 + h_2)}{2(E_1 h_1 + E_2 h_2)}, \quad (41)$$

$$c_2 = \frac{E_1 h_1 (h_1 + h_2)}{2(E_1 h_1 + E_2 h_2)}, \quad (42)$$

$$y_{12} = c_1 - \frac{h_1}{2}, \quad (43)$$

$$\{EI\} = \frac{b}{12} (E_1 h_1^3 + E_2 h_2^3) + (E_1 c_1^2 h_1 + E_2 c_2^2 h_2) b, \quad (44)$$

$$\langle EI \rangle = \frac{b}{12} (E_1 h_1^3 + E_2 h_2^3), \quad (45)$$

$$\langle AE \rangle_{-1} = \frac{E_1 h_1 E_2 h_2 b}{E_1 h_1 + E_2 h_2}. \quad (46)$$

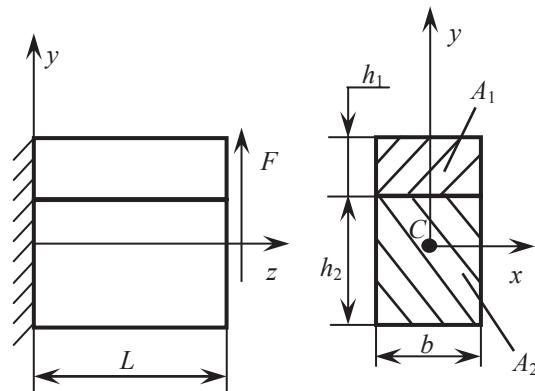
A későbbiekben még szükség lesz a

$$\Omega = \sqrt{k \frac{\{EI\}}{\langle AE \rangle_{-1} \langle EI \rangle}} \quad (47)$$

képlettel definiált változóra is [6,7]. A numerikus példához az alábbi adatokat használjuk:

$$L = 0,5 \text{ m}, \quad b = 0,03 \text{ m}, \quad h_1 = 0,02 \text{ m}, \quad h_2 = 0,04 \text{ m},$$

$$E_1 = 2 \cdot 10^{11} \text{ Pa}, \quad E_2 = 10^{10} \text{ Pa}.$$



4. ábra. Téglalap keresztmetszetű hajlított és nyírt rúd koncentrált erővel terhelve

Az igénybevételi függvényekre a [6] tanulmány a következő eredményeket vezette le:

$$T(z) = \frac{ckF}{\langle EI \rangle \Omega^2} [\sinh \Omega z \tanh \Omega L + \quad (48)$$

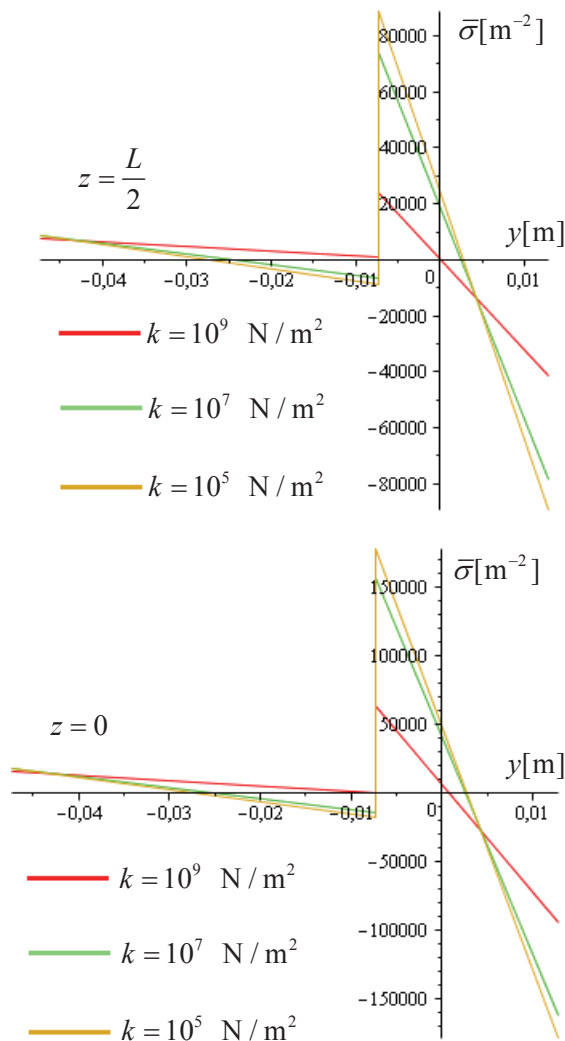
$$+ 1 - \cosh \Omega z], \quad 0 \leq z \leq L, \quad (49)$$

$$M(z) = F(L - z), \quad 0 \leq z \leq L, \quad (49)$$

$$N_1(z) = \frac{ckF}{\langle EI \rangle \Omega^3} [(\cosh \Omega y - 1) \tanh \Omega L - \quad (50)$$

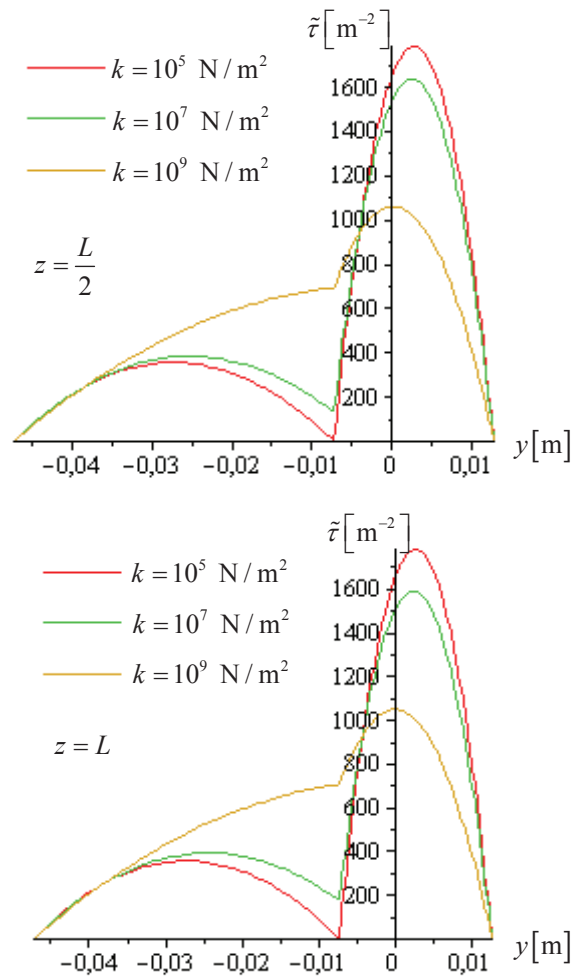
$$- \sinh \Omega z + \Omega(z - L) + \tanh \Omega L], \quad 0 \leq z \leq L, \quad (51)$$

$$V(z) = F, \quad 0 \leq z \leq L. \quad (51)$$



5. ábra. A $\bar{\sigma} = \sigma_z/F$ normálfeszültségi változó szemléltetése

Az 5. ábra a $z=0$ és a $z=L/2$ koordinátával kijelölt keresztmetszetekben szemlélteti a $\bar{\sigma} = \sigma_z/F$ feszültségi változót a k nyírási merevség néhány értékére. A 6. ábra pedig a $z=0$ és a $z=L$ koordinátákkal kijelölt keresztmetszetekben fellépő $\bar{\tau} = \tau_{yz}/F$ csúsztató feszültségi változó függvényét szemlélteti a k nyírási merevség néhány jellegzetes értékére.



6. ábra. A csúsztató feszültségi változó szemléltetése

5. KÖVETKEZTETÉSEK

A tanulmány kétrétegű, nem tökéletesen kapcsolódó kompozit rudak szilárdságtani számításához szükséges képletek levezetésével foglalkozik. A levezetett képletek használatát numerikus példán szemlélteti. A numerikus példában megvizsgáltuk a k nyírási merevség hatását a normál és csúsztató feszültségekre. A tanulmányban bizonyított összefüggések közvetlenül használhatók a nem tökéletesen kapcsolódó, rétegzett kompozit rudak szilárdságtani méretezésére.

6. KÖSZÖNETNYILVÁNÍTÁS

A kutató munka a TÁMOP-4.2.2/B-10/1-2010-0008 jelű projekt részeként – az Új Magyarország Fejlesztési Terv keretében – az Európai Unió támogatásával, az Európai Szociális Alap társfinanszírozásával valósul meg.

7. IRODALOM

- [1] UGURAL A. C., FENSTER S. K.: Advanced Strength and Applied Elasticity. Edward Arnold, London, 1984.
- [2] GIRHAMMAR U. A. and GOPU V. K. A.: Composite beam-columns with interlayer slip – exact analysis. Journal of Structural Engineering. 1993.; 119 (4), 1265-1282.
- [3] GIRHAMMAR U. A., PAN D.: Exact static analysis of partially composite beams and beam-columns. International Journal of Mechanical Sciences. 2007., 49 (2), 239-255.
- [4] GIRHAMMAR U. A., PAN D.: Dynamic analysis of composite members with interlayer slip. Int. Journal of Solids and Structures. 1993., 30, 797-823.
- [5] DALL'ASTA A.: Composite beams with weak shear connection. International Journal of Solids and Structures. 2001., 38, 5605-5624.
- [6] ECSEDI I., BAKSA A.: Static analysis of composite beams with weak shear connection. Applied Mathematical Modelling. 2011., 35, 1739-1750.
- [7] LENGYEL A. J., ECSEDI I.: Analitikus módszer részlegesen kapcsolt, rétegzett kompozit rudak szilárdságtani feladatainak megoldására. Miskolci Egyetem, Multidiszciplináris tudományok, 2. kötet (2012.), 1. szám, 89-102.

TRUMPF



- szilárdtest lézerforrások
- CO₂ lézerforrások
- jelölő lézerek és munkaállomások
- javító- felrakó hegesztő munkaállomások
- 3D-s hegesztő és vágó cellák
- kisebb-nagyobb sorozatok bérgyártása



Magyar képviselő
Lasersystems Kft.
H-1037 Budapest, Bojtár u. 31.
tel.: (+36) 1 - 240 - 0420
e-mail: info@lasersystems.hu
web: www.lasersystems.hu

